

Autonomní systémy a rovnice

Pi. je dává rovnice

$$x'' + x = 0.$$

Poznáme $y = x'$. Pak

$\begin{aligned} x' &= y \\ y' &= -x \end{aligned}$

Rěšením je vektorová funkce $(x(t), y(t)) = (\cos t, \sin t)$

$(x(t), y(t)) = (0, 0)$ - průběž

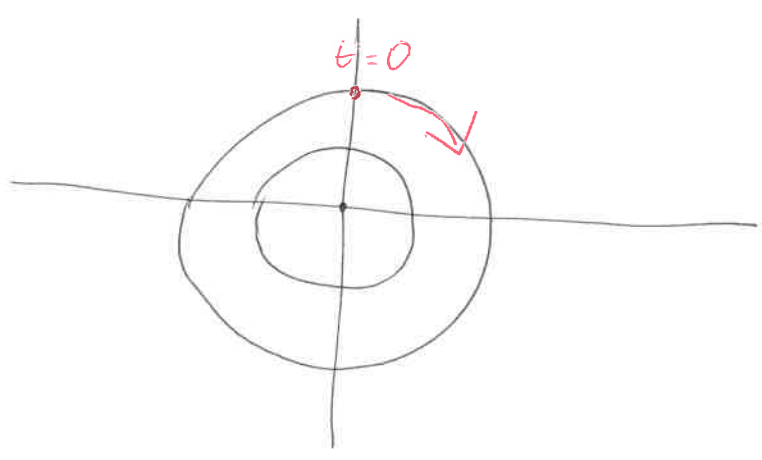
Toto řešení lze interpretovat jako kružku v rovině, která je dává parametricky s parametrem t . "trajektorie systému"

Všechny trajektorie:

- průběž

• $(c_1 \cos t + c_2 \sin t, c_1 \sin t - c_2 \cos t)$

... kružnice
 $r = c_1^2 + c_2^2$



Autonomní systém

$$(S) \quad \begin{aligned} x' &= f(x, y) \\ y' &= g(x, y) \end{aligned}$$

f, g - spojité fce

- Řešení: nezávislé fce $(x(t), y(t))$ - dvojice x rmcí zadaná parametry s parametrem t
trajektorie systému

První t - čas, lze volit $t_0 = 0$.

„Autonomní“ - prava strana nezávislá na $t \Rightarrow$

jestliže $(x(t), y(t))$ je řešení (S) $\Rightarrow (x(t+c), y(t+c))$ je řešení

- Singulární bod systému (S):

$$(*) \quad \boxed{f(x_0, y_0) = 0 \text{ a } g(x_0, y_0) = 0} \quad \begin{array}{l} f=0 \dots x\text{-nullina} \\ g=0 \dots y\text{-nullina} \end{array}$$

je řešením - systém má konstantní řešení - stav se nemění

singulární bod \equiv stacionární bod / rovnovážný stav
equilibrium

Kdy je stacionární bod stabilní nebo nestabilní
 a změnou času?

- Linearizace systému: PS r (S) \Rightarrow Taylorův polynom + (*)

$$x' = f_x(x_0, y_0)(x - x_0) + f_y(x_0, y_0)(y - y_0)$$

$$y' = g_x(x_0, y_0)(x - x_0) + g_y(x_0, y_0)(y - y_0).$$

Transformácie

$$u = x - x_0, \quad v = y - y_0$$

parciálna derivácia v (x_0, y_0) je daná a, b, c, d .

Paš lineárny systém $K(S)$

$$u' = au + bv$$

$$v' = cu + dv$$

lineárny autonómny systém
v rovnici

Matice

$$A = \begin{pmatrix} a & b \\ c & d \end{pmatrix}$$

mátnica - prázdná

Matice A a vektor x

$$\lambda \in \mathbb{C}, x \text{ nemul. vektor} \quad Ax = \lambda x$$

λ - vlastná hodnota
matice A

$$Ax - \lambda x = 0 \Leftrightarrow (A - \lambda E)x = 0$$

x - vlastný vektor
príslušný vl. hodnote λ

$$|A - \lambda E| = 0$$

~~matice~~

Charakteristická rovnica matice A

Autonomní systémy v rovině: stacionární body

$$(S): \begin{cases} x' = f(x, y) \\ y' = g(x, y) \end{cases}$$

Stacionární bod systému: $f(x_0, y_0) = 0, g(x_0, y_0) = 0$

x -nulová čára: $f(x, y) = 0$

y -nulová čára: $g(x, y) = 0$

Speciální případ (S): lineární systémy

$$\begin{aligned} \bullet \text{ nehomogenní} & \quad x' = a_{11}x + a_{12}y + b_1 = 0 \\ (\text{Lineární}) & \quad y' = a_{21}x + a_{22}y + b_2 = 0 \end{aligned}$$

stacionární bod

Možné případy:

a) nemá řešení

$$\left(\begin{array}{cc|c} a_{11} & a_{12} & b_1 \\ a_{21} & a_{22} & b_2 \end{array} \right)$$

$$h(A) < h(\bar{A})$$

b, nekonečně mnoho řešení

$$h(A) = h(\bar{A}) = 1$$

c, právě jedno řešení

$$h(A) = h(\bar{A}) = 2$$

Příklad

$$\begin{cases} x' = 0 \\ y' = 0 \end{cases}$$

každý bod je stacionární

$$\begin{cases} x' = 1 \\ y' = 0 \end{cases}$$

$$x = t + c_1, \quad y = c_2$$

stacionární body: prázdný

Necht' me' (L_{nehm}) graficky jeden stranicny bod (x_0, y_0) .

Poz substituce

$$(*) \quad \boxed{u = x - x_0 \quad v = y - y_0}$$



$u' = x', v' = y'$; $x = u + x_0$

$u' = a_{11}u + a_{11}x_0 + a_{12}v + a_{12}y_0 + b_1$

$v' = a_{21}u + a_{21}x_0 + a_{22}v + a_{22}y_0 + b_2$

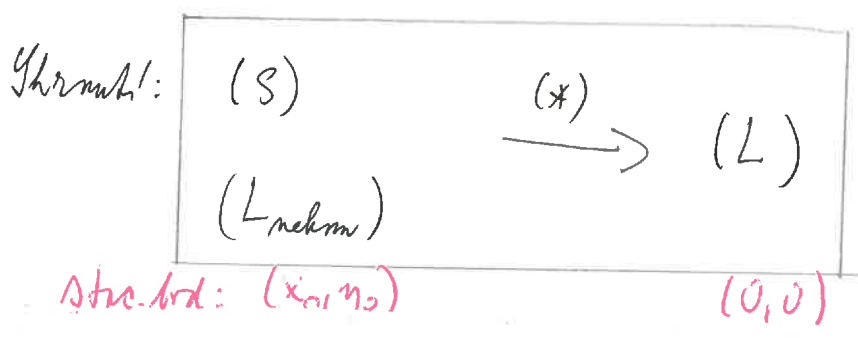
ty: charakterne homogenni system

(L)
$$\begin{cases} u' = a_{11}u + a_{12}v \\ v' = a_{21}u + a_{22}v \end{cases}$$

$x' = AX$

Stranicny bod systému (L) : $[0, 0]$

- je jediny
- vzhľadom na predložku
- právkem



Typy trajektorií:

Všetn systém (S) má 4 typy trajektorií:

1. Yimplybné body. Odym'daj? samostatnne ršeni.
2. Uzavné trajektorie (cykly). Odym'daj? nehmstanbné periodicky ršeni.
3. Trajektorie, ktore samy sebe reprezentuju.

Klasifikace stacionárních bodů systému (S) a (L)

Uvažujme přechodný problém: Necht' (x, y) je řešení systému

$$(S) \quad \begin{aligned} x' &= f(x, y) \\ y' &= g(x, y) \end{aligned}$$

kteří splňuje přechodná podmínky $x(t_0) = x_0, y(t_0) = y_0$.

Předpokládejme, že řešení existuje a je jediné.

Ytracionální bod ^{$[x_0, y_0]$} se nazývá

Uzel - všechny trajektorie z okolí bodu $[x_0, y_0]$ konvergují
pro $t \rightarrow \pm \infty$ do tohoto bodu $[x_0, y_0]$ tak, že

- kolem $[x_0, y_0]$ nedochází k oscilacím

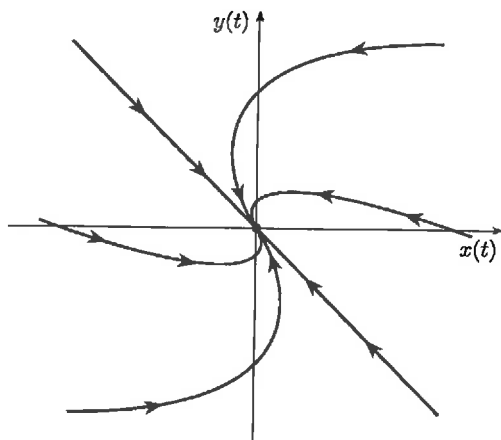
Ohnisko - -u-

- kolem $[x_0, y_0]$ dochází k oscilacím se zmenšující se amplitudou.

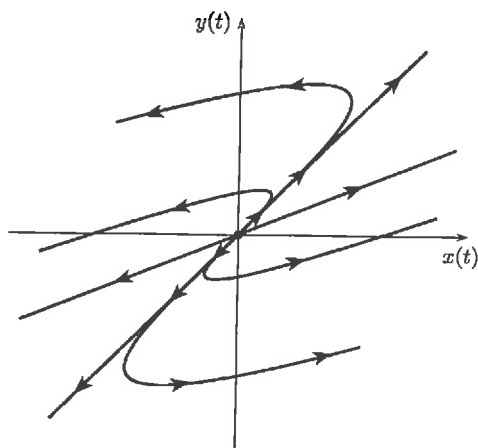
Sedlo - existuje směr trajektorie, které pro $t \rightarrow \pm \infty$ konvergují k $[x_0, y_0]$

Ykříd - všechny trajektorie z okolí bodu $[x_0, y_0]$ jsou cykly, tj. uzavřené a obklopují se kolem místa $[x_0, y_0]$

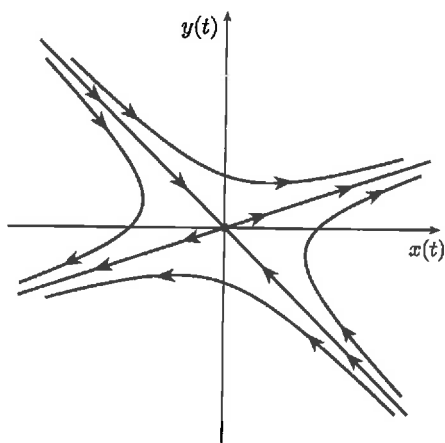
Bod rotace - každý okolí bodu $[x_0, y_0]$ obsahuje nekonečně mnoho cyklů



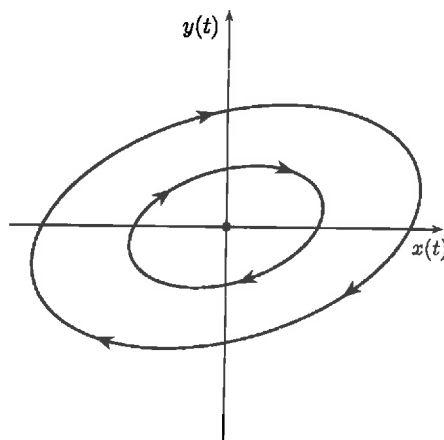
Obr. 1.6: stabilní uzel



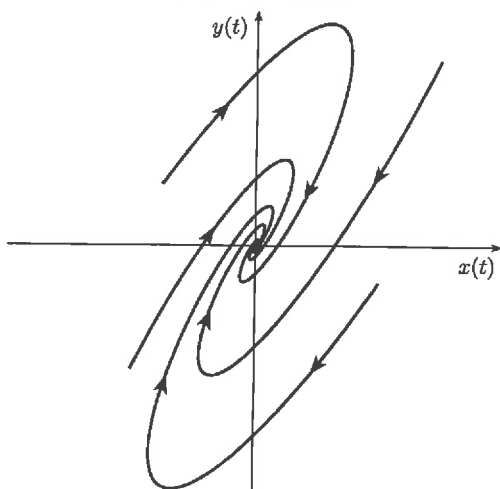
Obr. 1.7: nestabilní uzel



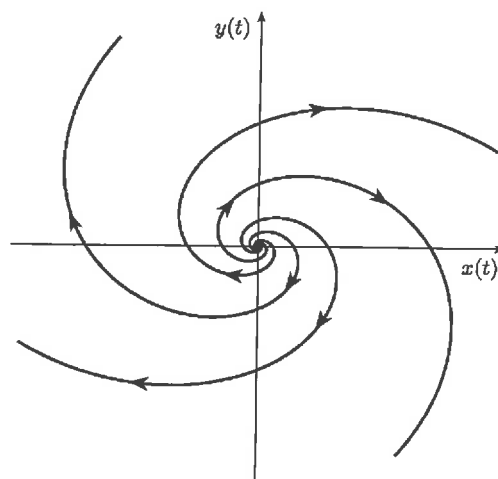
Obr. 1.8: sedlo



Obr. 1.9: střed



Obr. 1.10: stabilní ohnisko



Obr. 1.11: nestabilní ohnisko

Tím dostaneme systém

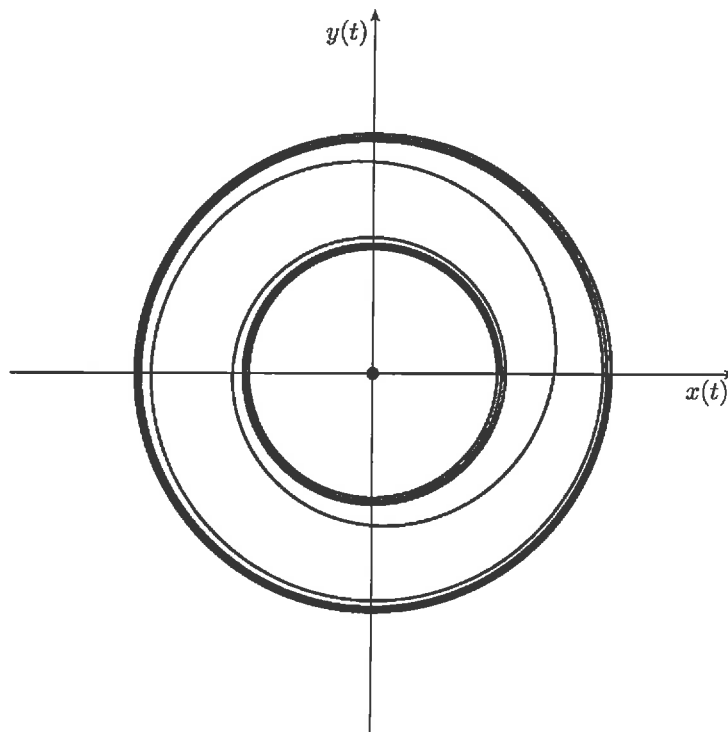
$$\begin{cases} u' = f_x(x_0, y_0)u + f_y(x_0, y_0)v \\ v' = g_x(x_0, y_0)u + g_y(x_0, y_0)v, \end{cases}$$

který je kýženou linearizací systému (1.4.2). V maticovém tvaru máme

$$\begin{pmatrix} u' \\ v' \end{pmatrix} = \begin{pmatrix} f_x(x_0, y_0) & f_y(x_0, y_0) \\ g_x(x_0, y_0) & g_y(x_0, y_0) \end{pmatrix} \cdot \begin{pmatrix} u \\ v \end{pmatrix}. \quad (1.4.3)$$

Matice tohoto lineárního systému se nazývá **Jacobiho matice** vyčíslená v bodě $[x_0, y_0]$ a typ stacionárního bodu $[x_0, y_0]$ zjistíme nalezením vlastních čísel této matice. Mají-li nenulovou reálnou část, stacionární bod lze klasifikovat, přičemž vlastní čísla odpovídají stejnému typu, jako u lineárních systémů.

Jsou-li ale vlastní čísla ryze imaginární, nelze tento stacionární bod tímto způsobem přesně klasifikovat. Tím se dostáváme k problémům spojeným s ryze imaginárními vlastními čísly u nelineárních systémů. Jediné, co můžeme o takovém bodě říct je, že je buď ohnisko, nebo střed, nebo bod rotace. Přesně klasifikovat takový bod vyžaduje náročnější techniky, kterým se v této práci bohužel věnovat nebudeme. Přesto v druhé kapitole narazíme na nelineární systém, ve kterém se uzavřené trajektorie vyskytují a v tom konkrétním případě si ukážeme, jak uzavřené trajektorie odhalit. Ilustrační obrázek bodu rotace lze vidět na obrázku 1.13.



Obrázek 1.13: Bod rotace

Určení typu stacionárního bodu pro lineární systém
 (podle vlastních čísel matice systému)

$A = \begin{pmatrix} a_{11} & a_{12} \\ a_{21} & a_{22} \end{pmatrix}$, $|A| \neq 0 \Leftrightarrow [0,0]$ je jediný stacionární bod

\dots Vlastní čísla: $|A - \lambda E| = 0 \dots \lambda_1, \lambda_2$

Případy:

1) $\lambda_1 \neq \lambda_2$ reálné různé

(L) \rightarrow Jordanův kanonický tvar $u' = \lambda_1 u$
 $v' = \lambda_2 v$
 $\begin{pmatrix} \lambda_1 & 0 \\ 0 & \lambda_2 \end{pmatrix}$

$u(t) = u_0 e^{\lambda_1 t}$, $v(t) = v_0 e^{\lambda_2 t}$

$u_0, v_0 \neq 0 \Rightarrow \left(\frac{u(t)}{u_0}\right)^{\lambda_2} = e^{\lambda_1 \lambda_2 t} = \left(\frac{v(t)}{v_0}\right)^{\lambda_1}$

$v = k u$ λ_2 / λ_1

\dots merenímne fce

- $\text{sgn } \lambda_1 = \text{sgn } \lambda_2 \dots$ uzel $\left\{ \begin{array}{l} \text{nestabilitní uzel} \\ \text{stabilitní uzel} \end{array} \right.$ $\lambda_1 > 0, \lambda_2 > 0$
 $\lambda_1 < 0, \lambda_2 < 0$
- různé znaménka \dots sedlo

$$2, \lambda_1 = \lambda_2 = \lambda \quad \text{a} \quad h(A - \lambda E) = 1$$

$$(L) \rightarrow \text{Jordan's Standardform} \quad \begin{aligned} u' &= \lambda u + v \\ v' &= \lambda v \end{aligned}$$

Ansatz: $u = e^{\lambda t} (u_0 + v_0 t), \quad v = v_0 e^{\lambda t}$ Wzel

$$3, \lambda_1 = \lambda_2 = \lambda \quad \text{a} \quad h(A - \lambda E) = 0 \quad \rightarrow \quad \begin{aligned} u' &= \lambda u \\ v' &= \lambda v \end{aligned} \Rightarrow$$

Ansatz: $v = k u$ Wzel

$$4) \lambda_{1,2} = \alpha \pm \beta i, \beta \neq 0$$

$$u' = \alpha u + \beta v$$

$$v' = -\beta u + \alpha v$$

$$\begin{pmatrix} \alpha & \beta \\ -\beta & \alpha \end{pmatrix}$$

• $\alpha = 0$... *oscillations* *střed*

• $\alpha \neq 0$... *logarithmic spiral* *ohnisť*

$\alpha < 0$... *stabilní ohnisť*

$\alpha > 0$... *nestabilní ohnisť*

$$\mu = a_{11} + a_{22} = \text{Tr} A$$

$$q = a_{11} a_{22} - a_{12} a_{21} = \det A$$

$q < 0$			sedlo
$q > 0$	$p > 0$	$4q \leq p^2$	nestabilní uzel
		$4q > p^2$	nestabilní ohnisko
	$p < 0$	$4q \leq p^2$	stabilní uzel
		$4q > p^2$	stabilní ohnisko
	$p = 0$		střed

Tabulka 1.1: Klasifikace stacionárních bodů podle stopy a determinantu matice A

Klasifikace podle matice: $\begin{vmatrix} a_{11} - \lambda & a_{12} \\ a_{21} & a_{22} - \lambda \end{vmatrix} = 0 \Leftrightarrow$

$$\lambda^2 - (a_{11} + a_{22})\lambda + a_{11}a_{22} - a_{12}a_{21} = 0$$

$\lambda_{1,2} \in \mathbb{R}$	$\lambda_{1,2} < 0$	stabilní uzel
	$\lambda_{1,2} > 0$	nestabilní uzel
	$\lambda_1 < 0 < \lambda_2$	sedlo
$\lambda_{1,2} = \alpha \pm \beta i$	$\alpha < 0$	stabilní ohnisko
	$\alpha > 0$	nestabilní ohnisko
	$\alpha = 0$	střed

Tabulka 1.2: Klasifikace stacionárních bodů podle vlastních čísel matice A

